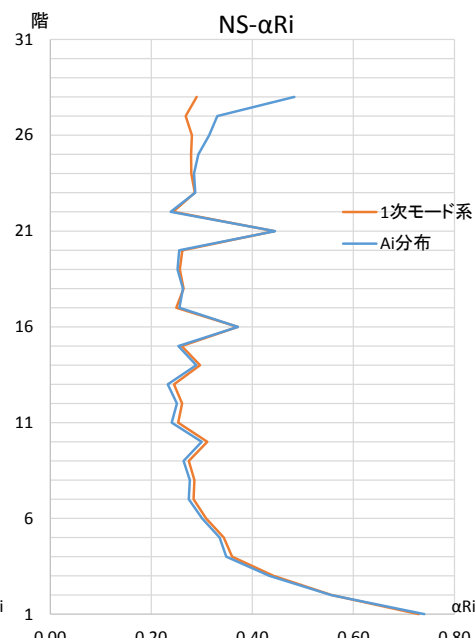
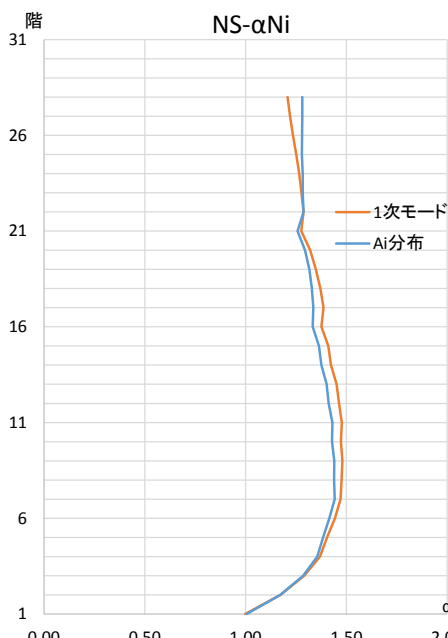
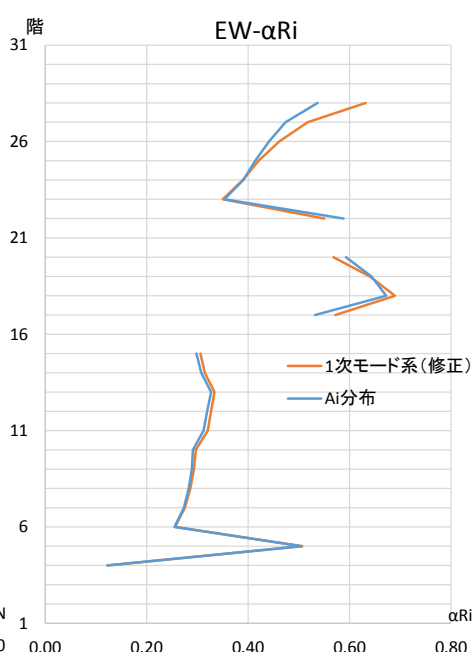
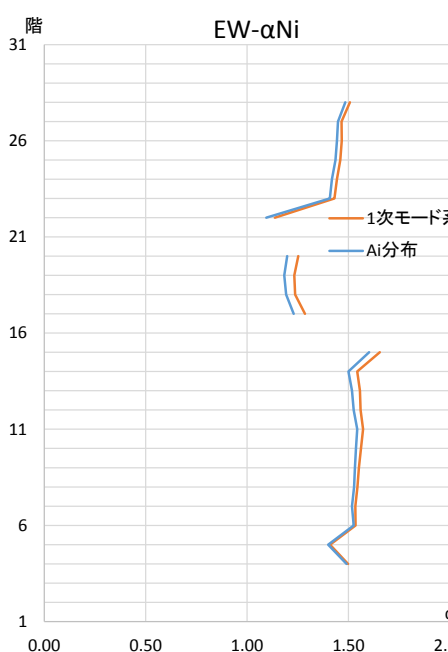


NR 解析 AI 分布、1 次モード系比較(訂正版)



| NS | Ai分布 | | | 1次モード系 | | |
|----|------------|------------|--------------------------------|------------|------------|--------------------------------|
| | α N | α R | α N \times α R | α N | α R | α N \times α R |
| 30 | | | | | | |
| 29 | | | | | | |
| 28 | 1.28 | 0.48 | 0.62 | 1.21 | 0.29 | 0.35 |
| 27 | 1.28 | 0.33 | 0.42 | 1.22 | 0.27 | 0.33 |
| 26 | 1.28 | 0.31 | 0.40 | 1.23 | 0.28 | 0.35 |
| 25 | 1.28 | 0.29 | 0.38 | 1.25 | 0.28 | 0.35 |
| 24 | 1.28 | 0.28 | 0.37 | 1.27 | 0.28 | 0.35 |
| 23 | 1.28 | 0.29 | 0.37 | 1.28 | 0.29 | 0.37 |
| 22 | 1.29 | 0.24 | 0.31 | 1.29 | 0.24 | 0.31 |
| 21 | 1.26 | 0.44 | 0.56 | 1.28 | 0.44 | 0.57 |
| 20 | 1.29 | 0.26 | 0.33 | 1.32 | 0.26 | 0.35 |
| 19 | 1.32 | 0.25 | 0.33 | 1.35 | 0.26 | 0.35 |
| 18 | 1.33 | 0.26 | 0.35 | 1.37 | 0.26 | 0.36 |
| 17 | 1.34 | 0.26 | 0.34 | 1.39 | 0.25 | 0.35 |
| 16 | 1.33 | 0.37 | 0.50 | 1.38 | 0.37 | 0.51 |
| 15 | 1.36 | 0.25 | 0.35 | 1.41 | 0.26 | 0.37 |
| 14 | 1.38 | 0.29 | 0.40 | 1.42 | 0.30 | 0.42 |
| 13 | 1.40 | 0.23 | 0.33 | 1.45 | 0.24 | 0.36 |
| 12 | 1.41 | 0.25 | 0.35 | 1.46 | 0.26 | 0.38 |
| 11 | 1.43 | 0.24 | 0.34 | 1.48 | 0.25 | 0.37 |
| 10 | 1.43 | 0.30 | 0.43 | 1.47 | 0.31 | 0.46 |
| 9 | 1.44 | 0.26 | 0.38 | 1.48 | 0.27 | 0.41 |
| 8 | 1.44 | 0.28 | 0.40 | 1.48 | 0.29 | 0.42 |
| 7 | 1.44 | 0.27 | 0.40 | 1.47 | 0.28 | 0.42 |
| 6 | 1.42 | 0.30 | 0.43 | 1.44 | 0.31 | 0.45 |
| 5 | 1.38 | 0.34 | 0.46 | 1.40 | 0.34 | 0.48 |
| 4 | 1.36 | 0.35 | 0.47 | 1.37 | 0.36 | 0.49 |
| 3 | 1.29 | 0.43 | 0.56 | 1.29 | 0.44 | 0.57 |
| 2 | 1.17 | 0.56 | 0.65 | 1.17 | 0.56 | 0.65 |
| 1 | 1.00 | 0.74 | 0.74 | 1.00 | 0.73 | 0.73 |



| EW | Ai分布 | | | 1次モード系(修正) | | |
|----|------------|------------|--------------------------------|------------|------------|------------------------------------|
| | α N | α R | α N \times α R | α N | α R | α N \times α R(修正) |
| 30 | | | | | | |
| 29 | | | | | | |
| 28 | 1.48 | 0.54 | 0.80 | 1.51 | 0.63 | 0.63 |
| 27 | 1.45 | 0.47 | 0.69 | 1.47 | 0.59 | 0.52 |
| 26 | 1.44 | 0.44 | 0.64 | 1.47 | 0.61 | 0.46 |
| 25 | 1.44 | 0.41 | 0.59 | 1.46 | 0.57 | 0.42 |
| 24 | 1.42 | 0.39 | 0.55 | 1.44 | 0.52 | 0.39 |
| 23 | 1.41 | 0.35 | 0.50 | 1.43 | 0.50 | 0.35 |
| 22 | 1.09 | 0.59 | 0.64 | 1.14 | 0.55 | 0.55 |
| 21 | | | | | | |
| 20 | 1.20 | 0.59 | 0.71 | 1.25 | 0.57 | 0.57 |
| 19 | 1.18 | 0.64 | 0.76 | 1.23 | 0.64 | 0.64 |
| 18 | 1.19 | 0.67 | 0.80 | 1.24 | 0.69 | 0.69 |
| 17 | 1.23 | 0.53 | 0.65 | 1.29 | 0.57 | 0.57 |
| 16 | | | | | | |
| 15 | 1.60 | 0.30 | 0.48 | 1.65 | 0.31 | 0.31 |
| 14 | 1.50 | 0.31 | 0.46 | 1.54 | 0.32 | 0.31 |
| 13 | 1.52 | 0.33 | 0.50 | 1.56 | 0.33 | 0.33 |
| 12 | 1.53 | 0.32 | 0.49 | 1.56 | 0.33 | 0.33 |
| 11 | 1.54 | 0.31 | 0.48 | 1.57 | 0.32 | 0.32 |
| 10 | 1.54 | 0.29 | 0.45 | 1.56 | 0.30 | 0.30 |
| 9 | 1.53 | 0.29 | 0.44 | 1.55 | 0.29 | 0.29 |
| 8 | 1.53 | 0.28 | 0.43 | 1.54 | 0.29 | 0.29 |
| 7 | 1.52 | 0.27 | 0.41 | 1.53 | 0.27 | 0.28 |
| 6 | 1.53 | 0.25 | 0.39 | 1.54 | 0.26 | 0.26 |
| 5 | 1.40 | 0.50 | 0.71 | 1.41 | 0.51 | 0.71 |
| 4 | 1.49 | 0.12 | 0.18 | 1.50 | 0.12 | 0.12 |
| 3 | | | | | | |
| 2 | | | | | | |
| 1 | | | | | | |

Ai 分布と 1 次モード系の層せん断力で NR 解析を行った際の結果を示す。解析の際には部材が塑性化しない程度までプッシュオーバーを行う為、最大層間変形角が 1/1000 の段階で解析を中止し、その結果を元に NR 解析を行っている。しかし EW 方向の α Ri では、1 次モード型の場合上層部の部材にうまく力が伝わらなかった為に異なる結果が出たと考えられる。そこで修正版として最大層間変形角 1/500 まで解析しその結果を元に R 解析を行った結果、上記図の通り EW の α R でも Ai 分布と 1 次モード系で差が殆ど見られなくなった。この事から、NR 解析においては荷重分布の違いによる解析結果には大きな違いは無いと考えられる。